

РАСЧЕТ ПЕРЕХОДНЫХ ПРОЦЕССОВ В НЕЛИНЕЙНЫХ ЦЕПЯХ

Переходные процессы в нелинейных электрических цепях описываются нелинейными дифференциальными уравнениями. Методы решения могут быть разделены на три группы: аналитические, графоаналитические и численные методы.

В работе рассматривается метод кусочно-линейной аппроксимации, который относится к аналитическим методам. Метод основан на замене нелинейных характеристик элементов $u(i)$, $\psi(i)$ и $q(u)$ отрезками прямых линий. Такой замене соответствует переход от одного нелинейного дифференциального уравнения к нескольким линейным дифференциальным уравнениям по числу отрезков ломаной линии. Однотипные уравнения отличаются лишь параметрами и начальными условиями.

Следует иметь в виду, что каждое из линейных уравнений справедливо лишь для определенного интервала времени $t_k \leq t \leq t_{k+1}$, в течение которого рабочая точка находится на соответствующем линеаризованном участке нелинейной характеристики. Границы временного интервала определяются из условия достижения одной из переменных нелинейного элемента точек излома.

В соответствии с законами коммутации начальные условия для рассматриваемого линейного участка определяются значениями напряжения емкости или тока индуктивности в конце временного интервала пребывания рабочей точки на соседнем участке. Условие непрерывности переменных состояния позволяет находить амплитуды свободных составляющих на каждом из этапов переходного процесса.

Ниже рассматриваются примеры расчета переходных процессов в нелинейной цепи, содержащей линейный накопительный элемент и нелинейный резистор, и в цепи с нелинейным накопительным элементом и линейными резисторами.

Расчет переходного процесса в цепи с нелинейным резистором методом кусочно-линейной аппроксимации.

Рассмотрим процессы в цепи, схема которой показана на рис. 1-а. Параметры элементов имеют следующие значения: $R_1 = R_3 = 4$, $C = 10^{-3}$, $R_2 = 100$, $E = 240$. Вольтамперная характеристика нелинейного резистора задана таблично $I = [0 \ 0.5 \ 1 \ 1.5 \ 2 \ 3 \ 5 \ 8]^T$, $U = [0 \ 40 \ 60 \ 70 \ 78 \ 88 \ 98 \ 105]^T$. График ВАХ показан на рис. 1б.

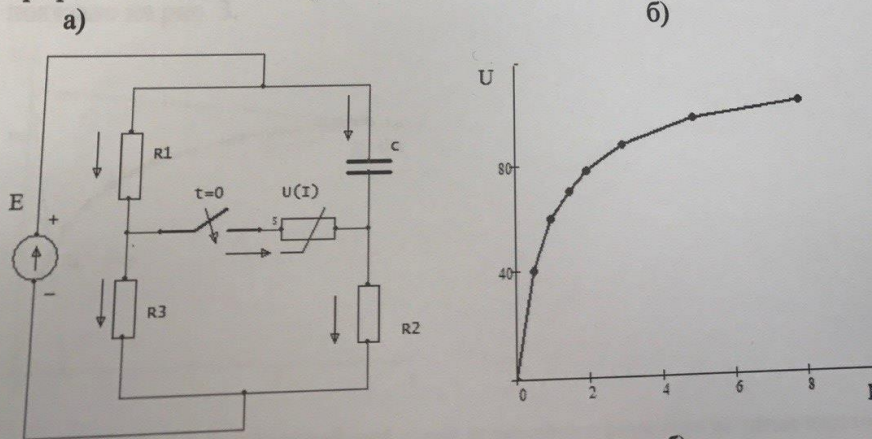


Рис. 1. Схема цепи – а) и ВАХ резистора – б)

Переходной процесс начинается в момент $t = 0$ после замыкания ключа.

В исходном состоянии напряжение на емкости равно напряжению источника постоянного тока. Это дает независимое начальное $u_c(0^-) = E = 240$.

Определение начального и конечного состояния нелинейного резистора.

При переходном процессе рабочая точка НР перемещается по кривой $U(I)$ от точки с координатами $[u_0 = u(0), i_0 = i(0)]$ до точки установившегося режима $[u_s = u(\infty), i_s = i(\infty)]$. Найдем координаты этих точек из схем замещения цепи для момента $t = 0+$ и для установившегося режима $t \rightarrow \infty$ (рис.2). Режим НР найдем методом эквивалентного источника.

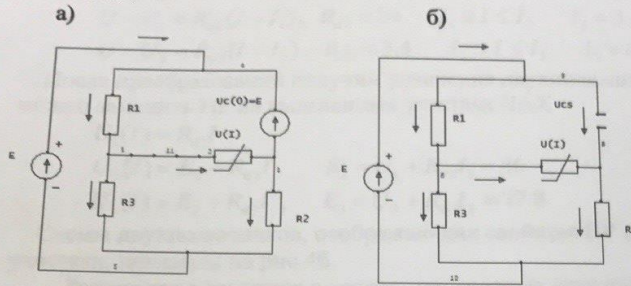


Рис.2 Расчетные схемы для начального момента – а) и конечного времени переходного процесса – б)

Из схемы для установившегося режима (рис.2а) находим параметры эквивалентного источника относительно точек подключения НР

$$U_{nl,1} = E \cdot \frac{R_3}{R_1 + R_3} = 240 \cdot \frac{4}{4 + 4} = 120 \quad R_{i1} = \frac{R_1 R_3}{R_1 + R_3} = 2$$

Из схемы для начального момента времени (рис. 2б) получим

$$U_{nl,2} = E \cdot \frac{R_3}{R_1 + R_3} = 120 \quad R_{i2} = \frac{R_1 R_3}{R_1 + R_3} + R_2 = 102$$

Внешние характеристики эквивалентных источников имеют вид.

$$U_{s1}(I) = 120 - 2I \quad , \quad U_{s2}(I) = 120 - 102I \quad (1)$$

Пересечение этих прямых с ВАХ резистора дает начальное A и конечное положение рабочей точки B при ее движении вдоль ВАХ во время переходного процесса как показано на рис. 3.

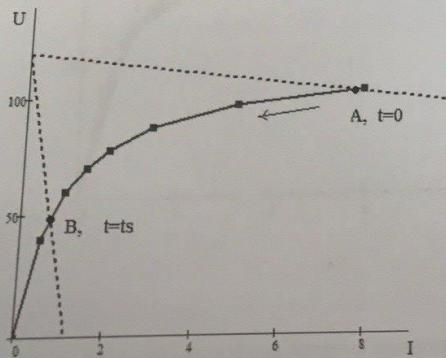


Рис.3. Траектория движения рабочей точки нелинейного резистора во время переходного процесса.

Кусочно-линейная аппроксимация ВАХ

Представим ВАХ с помощью ломаной линии, проходящей через точки [1,60], [3,88] [8,105], как показано на рис.4а.

На k -ом отрезке уравнение прямой линии записывается в виде

$$U - U_k = \frac{\Delta U_k}{\Delta I_k} \cdot (I - I_k), \quad \Delta U_k = U_{k+1} - U_k, \quad \Delta I_k = I_{k+1} - I_k \quad (2)$$

Здесь индекс k относится к началу отрезка.

Запишем уравнения для выделенных отрезков

$$\begin{aligned} U &= R_{d1} I, & R_{d1} &= 60, & 0 \leq I \leq I_1 & \quad I_1 = 1, U_1 = 60 \\ U - U_1 &= R_{d2}(I - I_1), & R_{d2} &= 14 & I_1 \leq I \leq I_2 & \quad I_2 = 3, U_2 = 88 \\ U - U_2 &= R_{d3}(I - I_2), & R_{d3} &= 3.4 & I_2 \leq I \leq I_3 & \quad I_3 = 8, U_3 = 105 \end{aligned} \quad (3)$$

После преобразований получим уравнения двухполосников, с помощью которых можно заменить НР на выделенных участках ВАХ

$$\begin{aligned} U_1(I) &= R_{d1} I \\ U_2(I) &= E_2 + R_{d2} I, & E_2 &= U_1 + R_{d2} I_1 = 46 \\ U_3(I) &= E_3 + R_{d3} I, & E_3 &= U_2 + R_{d3} I_2 = 77.8 \end{aligned} \quad (4)$$

Схемы двухполосников, отображающих свойства НР на выделенных линейных участках, показаны на рис.4б.

Расчет цепи сводится к расчету переходных процессов в линейных цепях с C -элементом, соответствующих схемам замещения НР, показанным на рис.5. Для сопряжения решений в точках излома кусочно-линейной ВАХ используется условие непрерывности напряжения на емкости в моменты перехода с одного участка аппроксимации на другой.

$$U_c(0_-) = U_c(0_+), \quad U_c(t_1 - 0) = U_c(t_1 + 0), \quad U_c(t_2 - 0) = U_c(t_2 + 0)$$

а) б)

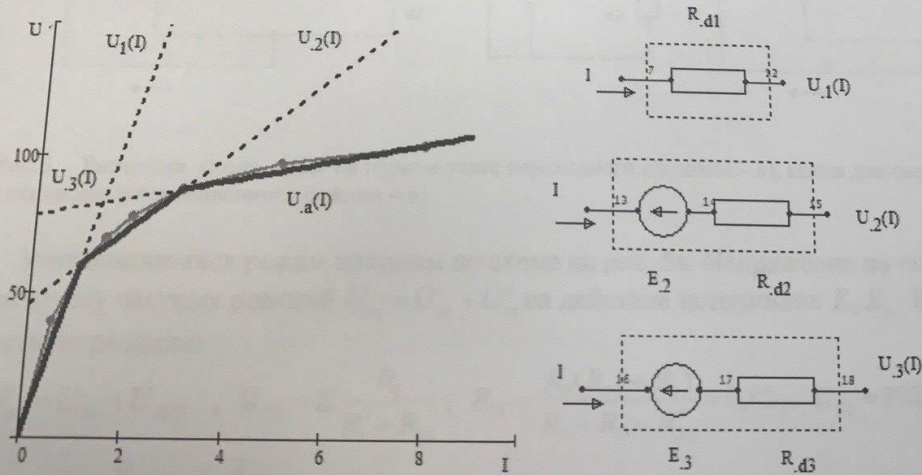


Рис.4. Кусочно-линейная аппроксимация вольтамперной характеристики – а) и схемы замещения НР на различных участках ВАХ

Расчет реакций на кусочно-линейных участках ВАХ

Решение на интервале $0 \leq t \leq t_1$,

На первом временном интервале НР замещается двухполосником с характеристикой $U_3(I) = E_3 + R_{d3}I = 77.8 + 3.4I$

Расчетная схема цепи показана на рис.5-а. На том же рисунке показана схема для свободных токов (рис. 5-б) и схема для установившегося режима цепи (рис.6в). Любая реакция является наложением свободной и принужденной составляющей. Для напряжения на емкости и тока НР имеем

$$\begin{aligned} u_C(t) &= u_{ct}(t) + U_{cs}, & u_{ct}(t) &= A_1 \cdot e^{-t/\tau}, & U_{cs} &= const \\ i(t) &= i_t(t) + I_s, & i_t(t) &= B_1 \cdot e^{-t/\tau}, & I_s &= const \end{aligned} \quad (5)$$

Для вычисления времени релаксации $\tau_1 = CR_{e1}$ по расчетной схеме для свободных токов достаточно найти эквивалентное сопротивление пассивного R – двухполосника относительно его точек подключения к емкости C в соответствии со схемой на рис.5б.

$$R_{13} = \frac{R_1 R_3}{R_1 + R_3} = 2, \quad R_{13d} = R_{13} + R_{d3} = 5.4, \quad R_{e1} = \frac{R_{13d} R_2}{R_2 + R_{13d}} = 5.123, \quad \tau_1 = CR_{e1} = 5.123 \text{ мс} \quad (6)$$

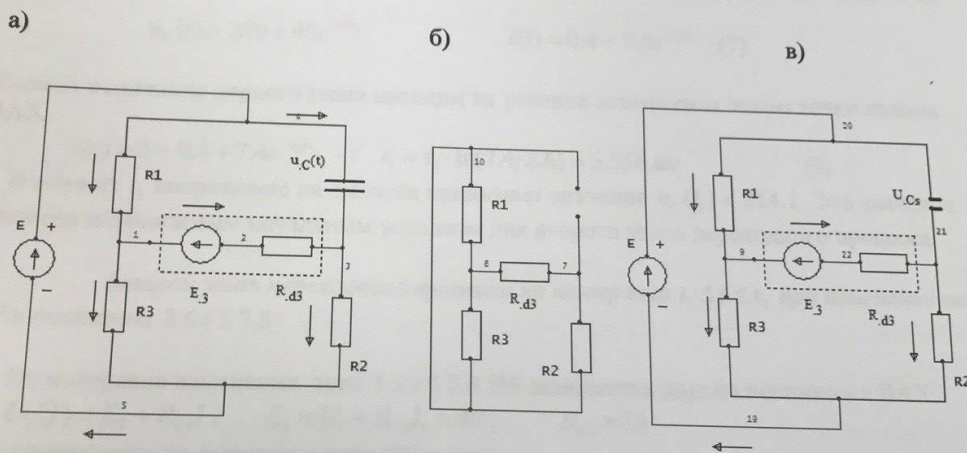


Рис.5 Расчетная схема цепи на первом этапе переходного процесса – а), схема для свободных токов – б) и схема для установившегося режима – в)

Установившийся режим находим по схеме на рис. 5в. Напряжение на емкости находим как сумму частных реакций $U_{cs} = U'_{cs} + U''_{cs}$ на действие источников E, E_3 . Находим первую частную реакцию

$$U'_{cs} = U_{R1} + U_{Rd3}, \quad U_{R1} = E \frac{R_1}{R_1 + R_{01}}, \quad R_{01} = \frac{R_3(R_{d3} + R_2)}{R_3 + R_2 + R_{d3}} = 3.85, \quad U_{R1} = 122.3,$$

$$U_{Rd3} = E \frac{R_{01}}{R_1 + R_{01}} \cdot \frac{R_{d3}}{R_{d3} + R_2} = 3.9, \quad U'_{cs} = 122.3 + 3.9 = 126.2$$

Вторая частная реакция и результирующее напряжение

$$U''_{cs} = E_3 \cdot \frac{R_2}{R_2 + R_{d3} + R_1 R_3 / (R_1 + R_3)} = 73.8, \quad U_{cs} = 126.2 + 73.8 = 200$$

Аналогично находим установившийся ток НР

$$I_s = I'_s + I''_s = \frac{E_s}{R_1 + R_{01}} \cdot \frac{R_3}{R_3 + R_{d3} + R_2} - \frac{E_3}{R_2 + R_{d3} + R_1 R_3 / (R_1 + R_3)} = 1.138 - 0.738 = 0.4$$

Для определения амплитуды свободного тока B_1 необходимо знать начальное значение тока $i(0+) = i_0$. Величина i_0 находится из расчетной схемы для момента времени $t = 0+$, которая получается из исходной схемы заменой емкости источником напряжения $U_{C0} = u_C(0+) = 240$ как показано на рис 2а. Приравнявая выражения для внешней характеристики эквивалентного источника $U_{s1}(I)$ (1) и ВАХ двухполюсника $U_3(I)$ (4), замещающего НР, получим уравнение для определения тока

$$U_{s1}(I) = U_3(I) \rightarrow 120 - 2I = 77.8 + 3.4I \rightarrow I_0 = 7.8$$

Начальная точка переходного процесса [7.8, 104.5] показана на рис.3.

Из полученных начальных условий находим амплитуды свободного тока и свободного напряжения

$$u_C(0) = 240 = 200 + A_1 \rightarrow A_1 = 40$$

$$i(0) = 7.8 = 0.4 + B_1 \rightarrow B_1 = 7.4$$

Напряжение на емкости и ток НР на первом этапе переходного процесса изменяются по закону

$$u_C(t) = 200 + 40e^{-t/\tau_1} \quad i(t) = 0.4 + 7.4e^{-t/\tau_1} \quad (7)$$

Момент окончания первого этапа находим из условия достижения током точки излома ВАХ

$$i(t_1) = 3 = 0.4 + 7.4e^{-t_1/\tau_1} \rightarrow t_1 = \tau_1 \cdot \ln(7.4/2.6) = 5.358 \text{ мс} \quad (8)$$

В момент t_1 напряжение на емкости принимает значение $u_C(t_1) = 214.1$. Это значение является независимым начальным условием для второго этапа переходного процесса.

Второй этап переходного процесса на интервале $t_1 \leq t \leq t_2$ при изменении тока НР в диапазоне $3 \leq i \leq 7.8$

На интервале изменения тока $3 \leq i \leq 7.8$ НР заменяется двухполюсником с ВАХ

$$U_2(I) = E_2 + R_{d2}I, \quad E_2 = U_1 + R_{d2}I_1 = 46, \quad R_{d2} = 14$$

Для напряжения на емкости и тока НР имеем

$$u_C(t) = u_{ct}(t) + U_{cs}, \quad u_{ct}(t) = A_2 \cdot e^{-t/\tau_2}, \quad U_{cs2} = \text{const} \quad t' = t - t_1$$

$$i(t) = i_t(t) + I_s, \quad i_t(t) = B_2 \cdot e^{-t/\tau_2}, \quad I_s = \text{const}$$

Для вычисления времени релаксации $\tau_2 = CR_{e2}$ по расчетной схеме для свободных токов найдем эквивалентное сопротивление пассивного R – двухполюсника относительно его точек подключения к емкости C в соответствии со схемой на рис.5б.

$$R_{13} = \frac{R_1 R_3}{R_1 + R_3} = 2, \quad R_{13d2} = R_{13} + R_{d2} = 16, \quad R_{e2} = \frac{R_{13d2} R_2}{R_2 + R_{13d2}} = 13.8, \quad \tau_2 = CR_{e2} = 13.8 \text{ мс}$$

Установившееся значение напряжения и тока определяются по формулам (8) и (9) с учетом параметров формулы (10): $U_{cs} = 176.3$, $I_s = 0.64$.

Находим амплитуды свободных составляющих A_2, B_2 из начальных условий

$$u_C(0) = 214.1 = 176.3 + A_2 \rightarrow A_2 = 37.8$$

$$i(0) = 3 = 0.64 + B_2 \rightarrow B_2 = 2.36$$

Напряжение на емкости и ток НР на втором этапе переходного процесса изменяются по закону

$$u_C(t) = 176.3 + 37.8e^{-t/\tau_2}$$

$$i(t) = 0.64 + 2.36e^{-t/\tau_2} \quad (9)$$

Момент окончания второго этапа находим из условия достижения током следующей точки излома ВАХ

$$i(t' = 0) = 1 = 0.64 + 2.36e^{-t_2/\tau_2} \rightarrow t_2' = \tau_{21} \cdot \ln(2.36/0.36) = 26 \text{ мс},$$

$$t_2 = t_1 + t_2' = 31.358 \quad (10)$$

В момент t_2 напряжение на емкости принимает значение $u_C(t_2) = 182.1$.

Третий этап переходного процесса на интервале $t_2 \leq t \leq t_3$ при изменении тока НР в интервале $0.74 \leq i \leq 7.8$.

На последнем интервале НР заменяется двухполосником с ВАХ

$$U_1(I) = R_{d1}I, \quad R_{d1} = 60 \quad (11)$$

В интервале времени $t = t'' - t_2$ напряжение на емкости и ток НР ищутся в виде

$$u_C(t) = u_{ct}(t) + U_{cs}, \quad u_{ct}(t) = A_3 \cdot e^{-t/\tau_3}, \quad U_{cs3} = \text{const} \quad t'' = t - t_2$$

$$i(t) = i_t(t) + I_s, \quad i_t(t) = B_3 \cdot e^{-t/\tau_3}, \quad I_{s3} = \text{const}$$

Для вычисления времени релаксации $\tau_3 = CR_{e3}$ найдем эквивалентное сопротивление пассивного R – двухполосника относительно его точек подключения к емкости C в соответствии со схемой на рис.5б.

$$R_{13} = \frac{R_1 R_3}{R_1 + R_3} = 2, \quad R_{13d3} = R_{13} + R_{d3} = 62, \quad R_{e3} = \frac{R_{13d3} R_2}{R_2 + R_{13d3}} = 38.2, \quad \tau_2 = CR_{e2} = 38.2 \text{ мс}$$

Установившееся значение напряжения и тока определяются по формулам (8) и (9) с учетом параметров формулы (10): $U_{cs} = 166$, $I_s = 0.74$.

Находим амплитуды свободных составляющих A_3, B_3 из начальных условий

$$u_C(0) = 182.1 = 166 + A_3 \rightarrow A_3 = 16.1$$

$$i(0) = 1 = 0.74 + B_3 \rightarrow B_3 = 0.26$$

Напряжение на емкости и ток НР на третьем этапе переходного процесса изменяются по закону

$$u_C(t) = 166 + 16.1e^{-t/\tau_3} \quad i(t) = 0.74 + 0.26e^{-t/\tau_3} \quad (12)$$

Графики переходного процесса показаны на рис. 7, на котором точками обозначены границы интервалов, которым соответствуют различные схемы замещения НР.

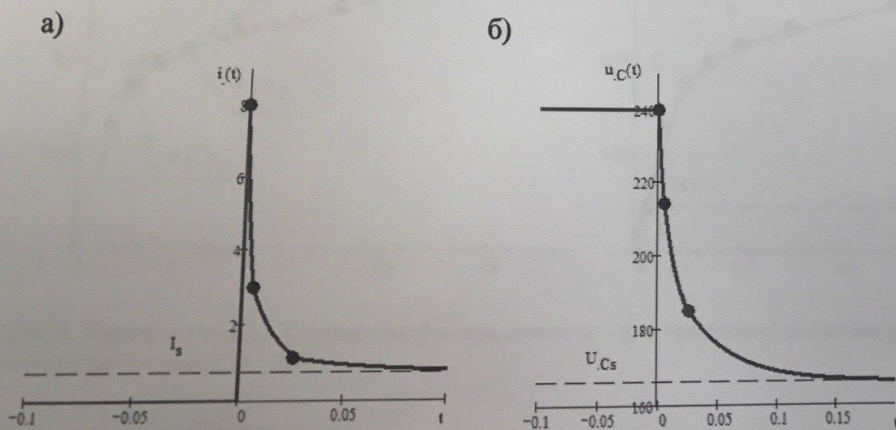


Рис. 7. Изменение тока НР – а) и напряжения емкости – б) во время переходного процесса

Расчет переходного процесса в цепях с нелинейным накопительным элементом

Схема цепи и вебер-амперная характеристика нелинейной индуктивности показана на рис.8. График характеристики $\psi(i)$ построен по табличным данным.

$$I_e = [0 \ 0.06 \ 0.095 \ 0.145 \ 0.2 \ 0.3 \ 0.5 \ 0.8]^T$$

$$\psi_e = [0 \ 2,6 \ 3,45 \ 3,94 \ 4,3 \ 4,7 \ 5,3 \ 6,1]^T \cdot 10^{-2}$$

Расчет производится при следующих параметрах элементов цепи:
 $E = 120, R_1 = 120, R_3 = 40, R_2 = 1$

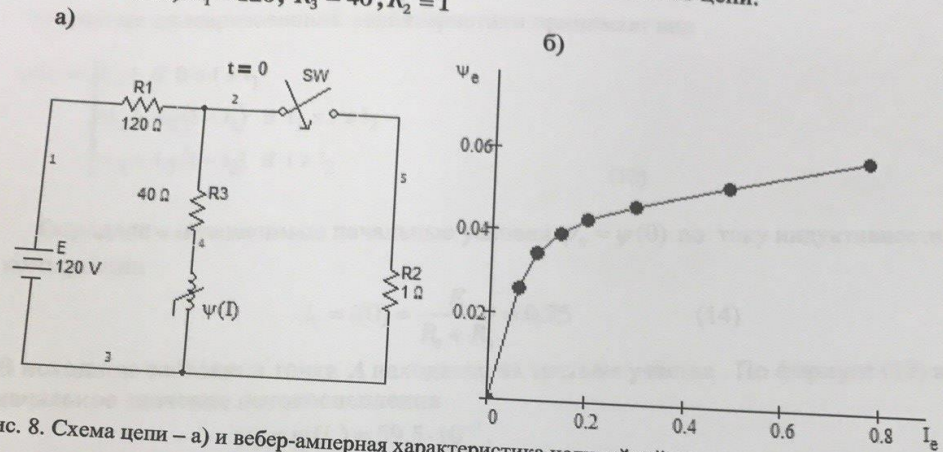


Рис. 8. Схема цепи – а) и вебер-амперная характеристика нелинейной индуктивности – б)

Линеаризация ВАХ

Аппроксимируем ВАХ индуктивности тремя отрезками прямых линий, как показано на рис. 9-а.

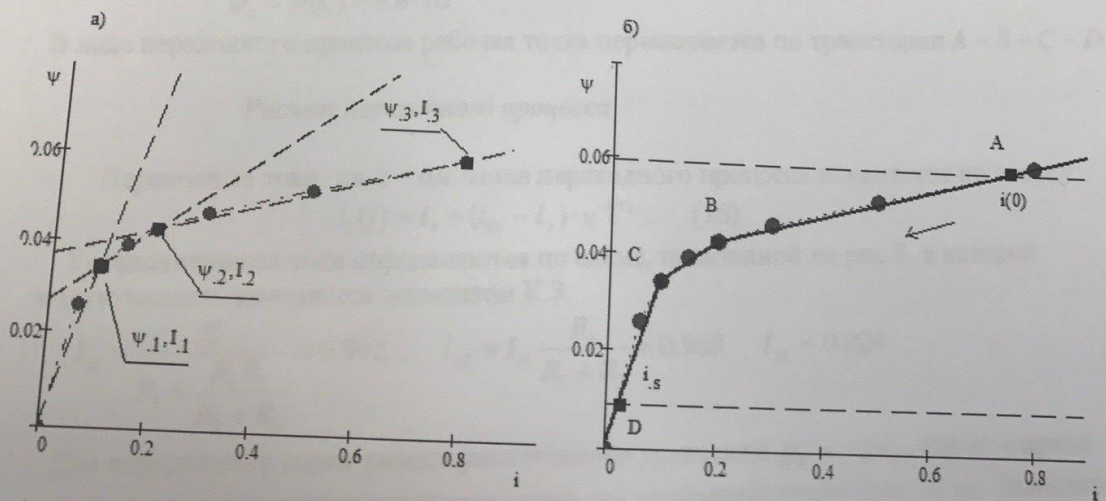


Рис.9. Линеаризация ВАХ нелинейной индуктивности – а) и траектория движения рабочей точки во время переходного процесса – б)

Уравнения прямых линий

$$y_j(x) = y_{j-1} + k_j(x - x_{j-1})$$

где j – номер отрезка прямой, x_{j-1}, y_{j-1} – координаты точки излома, соответствующей началу отрезка, k_j – угловой коэффициент

$$k_j = \frac{y_j - y_{j-1}}{x_j - x_{j-1}}$$

Запишем координаты начальных и конечных точек отрезков и динамические индуктивности ВАХ, соответствующие линеаризованным участкам

$$[0,0] \quad [\psi_1 = 0.0345, I_1 = 0.095], L_1 = 0.363$$

$$[\psi_2 = 0.043, I_2 = 0.2], L_2 = 0.081 \quad [\psi_3 = 0.061, I_3 = 0.8], L_3 = 0.03$$

Уравнение линеаризованной характеристики принимает вид

$$\psi(i) := \begin{cases} L_1 \cdot i & \text{if } 0 \leq i \leq I_1 \\ \psi_1 + L_2 \cdot (i - I_1) & \text{if } I_1 \leq i \leq I_2 \\ \psi_2 + L_3 \cdot (i - I_2) & \text{if } i \geq I_2 \end{cases} \quad (13)$$

Определим независимые начальные условия $\psi_0 = \psi(0)$ по току индуктивности до коммутации

$$i_0 = i(0) = \frac{E}{R_1 + R_3} = 0.75 \quad (14)$$

В исходном состоянии точка A находится на третьем участке. По формуле (13) находим начальное значение потокосцепления

$$\psi_0 = \psi(i_0) = 59.5 \cdot 10^{-3}$$

В установившемся режиме ток индуктивности равен

$$i_s = E \frac{R_{23}}{R_1 + R_{23}} \cdot \frac{1}{R_3}, \quad R_{23} = \frac{R_2 R_3}{R_2 + R_3}, \quad i_s = 24 \cdot 10^{-3} \quad (15)$$

Потокосцепление в точке D (рис.9-б) определяется по формуле (13)

$$\psi_s = \psi(i_s) = 8.8 \cdot 10^{-3}$$

В ходе переходного процесса рабочая точка перемещается по траектории $A - B - C - D$.

Расчет переходного процесса

Переходные токи на k -ом этапе переходного процесса изменяется по закону

$$i_k(t) = I_s + (i_{0k} - I_s) \cdot e^{-t/\tau_k} \quad (16)$$

Установившиеся токи определяются по схеме, показанной на рис.8, в которой индуктивность заменяется элементом К.З.

$$I_{s1} = \frac{E}{R_1 + \frac{R_2 R_3}{R_2 + R_3}} = 0.992, \quad I_{s2} = I_{s1} \frac{R_3}{R_2 + R_3} = 0.968, \quad I_{sL} = 0.024$$

Для определения корня характеристического уравнения $p_k = -1/\tau_k$, где τ_k – время релаксации, используется расчетная схема для свободных токов (рис.10-а). Зависимые начальные условия $i_k(0)$ находятся по расчетной схеме для момента времени $t = 0+$ (рис.10-б).

Время релаксации $\tau_k = L_k / R_e$ определяется динамической индуктивностью L_k и эквивалентным сопротивлением резистивной цепи R_e относительно точек подключения нелинейного L – элемента

$$R_e = R_3 + \frac{R_1 R_2}{R_1 + R_2} = 41$$

Время τ зависит от того, какому из линеаризованных участков ВАХ соответствует тот или иной этап переходного процесса:

$$\begin{aligned} \tau_1 = L_3/R_e = 0.732 \cdot 10^{-3}, & \quad 0 \leq t \leq t_1, \quad i_0 \geq i \geq I_2 = I_B = 0.2 \\ \tau_2 = L_2/R_e = 1.97 \cdot 10^{-3}, & \quad t_1 \leq t \leq t_2, \quad I_2 \geq i \geq I_1 = I_C = 0.099 \\ \tau_3 = L_1/R_e = 8.86 \cdot 10^{-3}, & \quad t \geq t_2, \quad I_1 \geq i \geq I_D = I_S = 0.024 \end{aligned}$$

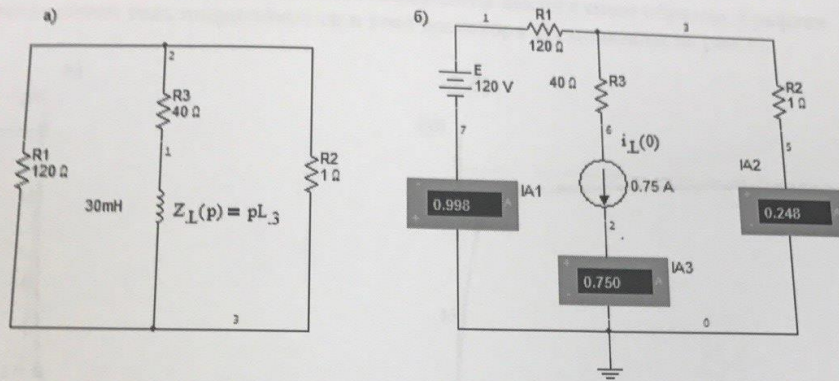


Рис.10. Расчетная схема для свободных токов – а) и определения зависимых начальных условий – б)

Из приведенных данных следует, что скорость протекания переходного процесса изменяется в зависимости от положения рабочей точки на ВАХ нелинейной индуктивности.

Начальные значения токов резисторов R_1 и R_2 находятся по схеме для момента времени $t = 0+$. В этой схеме независимые условия учтены источником тока i_{0k}

$$i_{20k} = i_{2k}(0) = \frac{E}{R_1 + R_2} - i_{0k} \cdot \frac{R_1}{R_1 + R_2}, \quad i_{10k} = i_{k1}(0) = i_{0k} + i_{20k}$$

Запишем начальные значения тока индуктивности на различных этапах переходного процесса

$$i_{01} = i_L(t=0+) = 0.75, \quad 0 \leq t \leq t_1$$

$$i_{02} = i_L(t'=0+) = I_2 = 0.2, \quad t' = t - t_1 \quad t_1 \leq t \leq t_2 \quad 0 \leq t' \leq t'_2$$

$$i_{03} = i_L(t''=0+) = I_1 = 0.099 \quad t'' = t - t_2 = t' - t'_2 \quad t \geq t_2$$

Моменты перехода рабочей точки с одного участка на другой определяются из условия непрерывности тока индуктивности

$$I_s + (i_0 - I_s)e^{-t_1/\tau_1} = I_2 \quad \rightarrow \quad t_1 = \tau_1 \cdot \ln \frac{i_0 - I_s}{I_2 - I_s} = 1.04 \cdot 10^{-3}$$

$$I_s + (I_2 - I_s)e^{-(t_2 - t_1)/\tau_2} = I_1 \quad \rightarrow \quad t_2 = t_1 + \tau_2 \cdot \ln \frac{I_2 - I_s}{I_1 - I_s} = 2.84 \cdot 10^{-3}$$

Закон изменения тока индуктивности можно представить в виде

$$i_L(t) = \begin{cases} i_{Ls} + A_1 e^{-\frac{t}{\tau_1}} & \text{if } 0 \leq t \leq t_1 & A_1 = i_L(0) - i_{Ls} \\ i_{Ls} + A_2 e^{-\frac{-(t-t_1)}{\tau_2}} & \text{if } t_1 \leq t \leq t_2 & A_2 = i_{Ls} - i_{Ls} \\ i_{Ls} + A_3 e^{-\frac{-(t-t_2)}{\tau_3}} & \text{if } t \geq t_2 & A_3 = i_{Ls} - i_{Ls} \end{cases}$$

Зависимости токов других ветвей записываются аналогичным образом. Графики зависимостей тока индуктивности и тока резистора R_2 показаны на рис.11.

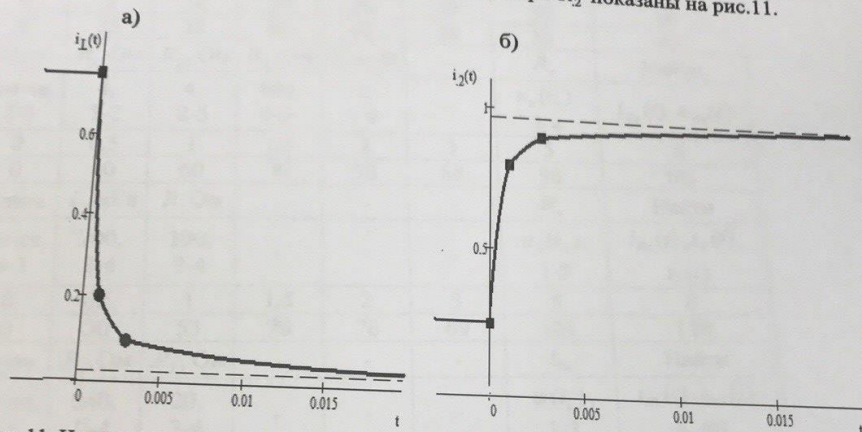


Рис.11. Изменение тока индуктивности – а) и тока резистора R_2 - б) во время переходного процесса.

Из графиков видно, что аппроксимация ВАХ нелинейной индуктивности тремя отрезками прямых линий дает приемлемо плавную картину переходного процесса.

Таблица вариантов заданий.

Таблица 1.

Исходные данные для расчета

№	1	2	3	4	5	6	7	8	9
1	$U, В$	Ключ	$L, мГн$	$R, Ом$	-	-	-	R_n	Найти
	120, 1-4	зам-ся, 1-2	400, 3-4	190, 3-4	-	-	-	$u(i),$ 2-3	$i_{Rn}(t), i_L(t),$ $i_R(t)$
	$i, А$	0	0,5	1	1,5	2	3	4	8
	$u, В$	0	30	52	68	80	92	106	120
						-	-		

2	$U, В$	Ключ	$R_1, Ом$	$R_2, Ом$	$U_{C(0)}, В$			C_n	Найти
	180, 1-4	зам-ся, 1-2	120, 2-3	60, 3-4	10	-	-	$q(u), 3-4$	$i_{R_1}(t), i_{R_2}(t), u_{R_2}(t)$
	$u, В$	0	5	10	15	20	30	50	80
3	$q, мК$	0	1,5	2,7	3,5	4	4,5	5,3	6
	$U, В$	Ключ	$R_1, Ом$	$R_2, Ом$	$R_3, Ом$	$R_4, Ом$	$U_{C(0)}, В$	C_n	Найти
	150, 1-5	зам-ся, 2-3	4, 1-2	12, 2-5	12, 1-4	4, 4-5	10	$q(u), 3-4$	$q(t), u_c(t), i_c(t)$
4	$u, В$	0	5	10	15	20	30	50	80
	$q, мК$	0	25	35	40	43	48	55	63
	$U, В$	Ключ	$R_1, Ом$	$R_2, Ом$	$R_3, Ом$	$C, мКФ$	-	R_n	Найти
5	240, 1-5	зам-ся, 2-3	4, 1-2	4, 2-5	100, 4-5	1, 1-4	-	$u_n(i_n), 3-4$	$i_{Rn}(t), u_{Rn}(t)$
	$i, А$	0	0,5	1	1,5	2	3	5	8
	$u, В$	0	40	60	70	78	88	98	105
6	$U, В$	Ключ	$L, мГн$	$R, Ом$	-	-	-	R_n	Найти
	120, 1-4	зам-ся, 2-3	200, 3-4	190, 2-4	-	-	-	$u_n(i_n), 1-2$	$i_{Rn}(t), i_R(t), i_L(t)$
	$i, А$	0	0,5	1	1,5	2	3	5	8
7	$u, В$	0	30	53	70	78	89	104	118
	$U, В$	Ключ	$R_1, Ом$	$R_2, Ом$	-	-	-	L_n	Найти
	120, 1-4	зам-ся, 2-3	240, 2-4	20, 3-4	-	-	-	$\psi(i_n), 1-2$	$i_{R1}(t), i_{R2}(t), i_{Ln}(t)$
8	$i, А$	0	0,5	1	1,5	2	3	5	8
	$\psi, Вб$	0	0,24	0,34	0,38	0,42	0,45	0,49	0,55
	$U, В$	Ключ	$R, Ом$	$C, мКФ$	$U_{C(0)}, В$	-	-	R_n	Найти
9	100, 1-4	зам-ся, 2-3	120, 2-4	0,25, 3-4	-20	-	-	$u_n(i_n), 1-2$	$i_{Rn}(t), u_c(t), i_R(t)$
	$i, А$	0	0,5	1,0	1,5	2	3	5	8
	$u, В$	0	40	66	80	88	100	115	126
10	$U, В$	Ключ	$R_1, Ом$	$R_2, Ом$	-	-	-	L_n	Найти
	180, 1-4	зам-ся, 1-2	30, 2-3	60, 3-4	-	-	-	$\psi(i_L), 3-4$	$i_{R1}(t), i_{R2}(t), \psi(t)$
	$i, А$	0	0,5	1	1,5	2	3	5	8
11	$\psi, Вб$	0	0,25	0,33	0,4	0,43	0,47	0,53	0,57
	$U, В$	Ключ	$R_1, Ом$	$R_2, Ом$	$R_3, Ом$	$R_4, Ом$	$U_{C(0)}, В$	C_n	Найти
	60, 1-4	зам-ся, 4-5	12, 1-2	12, 1-3	12, 2-3	12, 2-4	-30	$q(U_C), 3-5$	$q(t), u_c(t), i_c(t)$
12	$i, А$	0	5	10	15	20	30	50	80
	$q, мК$	0	25	35	40	43	48	55	63
13	$U, В$	Ключ	$R_1, Ом$	$R_2, Ом$	$R_3, Ом$	$C, мКФ$	-	R_n	Найти

$U_c = \dots$
 $T_{np} = \dots$
 $n - U_n(D_n)$

11	130, 1-4	зам-ся, 4-5	12, 1-2	6, 2-4	100, 1-3	1, 2-3	-	$u_n(i_n)$, 3-5	$i_{Rn}(t), u_{Rn}(t)$
	i, A	0	1	1,5	2,0	2,5	3	5	8
	u, B	0	52	7	80	86	92	106	120
12	120, 1-4	зам-ся, 2-3	25, 3-4	4, 1-2	-	-	-	R_n	Найти
	i, A	0	0,5	1	1,5	2	3	$u_n(i_n)$, 2-4	$i_R(t), i_L(t), i_{Rn}(t)$
	u, B	0	30	52	68	78	90	5	8
13	80, 1-4	зам-ся, 2-3	150, 1-2	10, 3-4	-	-	-	C_n	Найти
	i, A	0	5	10	15	20	30	$q(U_c)$, 2-4	$i_{R1}(t), i_{R2}(t), q_c(t)$
	$q, мК$	0	25	35	40	43	45	50	80
14	100, 1-4	зам-ся, 2-3	25, 1-2	4, 3-4	-	-	-	R_n	Найти
	i, A	0	0,5	1,0	1,5	2,0	3	$u_n(i_n)$, 2-4	$i_R(t), i_L(t), i_{Rn}(t)$
	u, B	0	40	60	70	80	88	5	8
15	18, 1-4	зам-ся, 2-3	3, 1-2	6, 2-4	-	-	-	$\psi(i)$, 3-4	$i_{R1}(t) i_{R2}(t), \psi(t)$
	i, A	0	0,5	1	1,5	2	3	5	8
	$\psi, мВб$	0	25	35	41	44	48	52	58
16	240, 1-4	зам-ся, 4-5	6, 1-2	6, 2-4	100, 1-3	100, 2-3	-	R_n	Найти
	i, A	0	1	1,5	2,0	2,5	3	$u_n(i_n)$, 3-5	$i_{Rn}(t), u_{Rn}(t)$
	u, B	0	52	70	80	86	92	5	8
17	240, 1-5	зам-ся, 2-3	4, 1-2	4, 2-5	100, 4-5	100, 1-4	-	R_n	Найти
	i, A	0	0,5	1	1,5	2	3	$u_n(i_n)$, 3-4	$i_{Rn}(t), u_{Rn}(t)$
	u, B	0	40	60	70	78	88	98	105
18	60, 1-4	зам-ся, 4-5	12, 1-2	12, 1-3	12, 2-3	12, 2-4	-	L_n	Найти
	i, A	0	0,5	1,0	1,5	2,0	4	$\psi(i_n)$, 3-5	$i_{Rn}(t), \psi_{Rn}(t)$
	$\psi, мВб$	0	25	35	40	44	50	54	58
19	120, 1-5	зам-ся, 2-3	120, 1-4	120, 2-5	2,42, 1-2	2,42, 4-5	-	R_n	Найти
	i, A	0	1	1,5	2	2,5	3	$u_n(i_n)$, 3-4	$i_{Rn}(t), u_{Rn}(t)$
	i, A	0	1	1,5	2	2,5	3	5	8

19	$u, В$	0	56	75	85	92	97	108	120
	$U, В$	Ключ	$R_1, Ом$	$R_2, Ом$	$U_{C(0)}, В$	-	-	C_n	Найти
	120, 1-4	зам-ся, 2-3	40, 1-2	80, 2-4	-10	-	-	$q(U_C), 3-4$	$i_{R1}(t), i_{R2}(t), q_{Cn}(t)$
	$i, А$	0	5	10	15	20	30	50	80
20	$q, мК$	0	2,5	3,5	4	4,3	4,6	5,1	5,6
	$U, В$	Ключ	$R, Ом$	$C, мкФ$	-	-	-	R_n	Найти
	120, 1-4	зам-ся, 2-3	80, 1-2	0,4, 2-4	-	-	-	$u_n(i_n), 3-4$	$i_R(t), i_{Rn}(t), u_C(t)$
	$i, А$	0	0,5	1	1,5	2	3	5	8
21	$u, В$	0	26	48	62	3	86	105	125
	$U, В$	Ключ	$R_1, Ом$	$R_2, Ом$	$R_3, Ом$	$L, мГн$	-	R_n	Найти
	120, 1-5	зам-ся, 1-2	100, 1-3	100, 3-5	50, 3-4	100, 4-5	-	$u_n(i_n), 2-4$	$i_{Rn}(t), u_{Rn}(t)$
	$i, А$	0	1	1,5	2	2,5	3	5	8
22	$u, В$	0	56	75	85	92	97	108	120
	$U, В$	Ключ	$R_1, Ом$	$R_2, Ом$	$L_1, мГн$	$L_2, мГн$	-	R_n	Найти
	120, 1-5	зам-ся, 1-2	12, 3-5	12, 2-4	100, 2-3	100, 4-5	-	$u_n(i_n), 3-4$	$i_{Rn}(t), i_{R1}(t), i_{L1}(t)$
	$i, А$	0	1	1,5	2	2,5	3	5	8
23	$u, В$	0	60	77	87	93	98	109	120
	$U, В$	Ключ	$R, Ом$	$C, мкФ$	-	-	-	R_n	Найти
	120, 1-4	зам-ся, 3-4	4, 1-2	4, 2-3	-	-	-	$u_n(i_n), 2-3$	$i_R(t), i_C(t), i_{Rn}(t)$
	$i, А$	0	0,5	1	1,5	2,0	3	5	8
24	$u, В$	0	40	64	80	88	100	115	132
	$U, В$	Ключ	$L, мГн$	$R, Ом$	-	-	-	R_n	Найти
	120, 1-4	зам-ся, 2-3	330, 1-2	200, 2-4	-	-	-	$u_n(i_n), 3-4$	$i_L(t), i_R(t), i_{Rn}(t)$
	$i, А$	0	0,5	1	1,5	2	3	5	8
25	$u, В$	0	24	46	60	72	85	103	122
	$U, В$	Ключ	$R, Ом$	$C, мкФ$	-	-	-	R_n	Найти
	120, 1-4	зам-ся, 1-2	120, 3-4	1,54, 3-4	-	-	-	$u_n(i_n), 2-3$	$i_{Rn}(t), i_R(t), u_C(t)$
	$i, А$	0	0,5	1	1,5	2	3	5	8
26	$u, В$	0	25	46	62	74	88	104	120
	$U, В$	Ключ	$R, Ом$	$C, мкФ$	$U_{C(0)}, В$	-	-	R_n	Найти
	120, 1-4	зам-ся, 2-3	4, 1-2	4, 3-4	-20	-	-	$u_n(i_n), 2-4$	$i_{Rn}(t), i_R(t), u_C(t)$
	$i, А$	0	0,5	1	1,5	2	3	5	8